



DOI:10.52547/GeoSpa.21.3.39

*^۱مژگان انتظاری نجف آبادی
^۲علی داودی
^۳مجید غلامی

بورسی وضعیت زمین‌لغزش شهرستان کوهدهشت با استفاده از مدل تصمیم‌گیری چند معیاره (Electre-1)

تاریخ پذیرش: ۱۳۹۸/۰۸/۰۹

تاریخ دریافت: ۱۳۹۷/۰۸/۱۱

چکیده

از دلایل عمدۀ وقوع زمین‌لغزش، مدیریت نادرست زمین بهویژه در مناطق کوهستانی و دره‌ها می‌باشد. در این تحقیق سعی بر آن شده که با بررسی عوامل مؤثر در وقوع زمین‌لغزش و همچنین مقایسه بخش‌های شهرستان کوهدهشت لرستان از نظر حساسیت به زمین‌لغزش در قالب روش تصمیم‌گیری چند معیاره (Electre-1)، مناطق دارای ریسک بالای خطر زمین‌لغزش مشخص گردد. کاربرد روش‌های چند معیاره الکتره در رتبه‌بندی است. مدل (Electre-1) ماتریس تصمیمی را ارزیابی می‌کند که شامل m گزینه و n شاخص است. در این تحقیق گزینه‌ها، بخش‌های شهرستان کوهدهشت و شاخص‌ها عوامل مؤثر در وقوع زمین‌لغزش می‌باشند. پس از وزن‌دهی، مقایسه زوجی و محاسبه وزن نهایی عوامل، مشخص شد که عامل شیب با وزن 0.379 و سنگشناسی با وزن 0.248 نقش اصلی را در حساسیت منطقه مورد مطالعه دارند. همچنین منطقه ازلحاظ میزان آسیب‌پذیری در برابر زمین‌لغزش بررسی شد که بر طبق این ارزیابی بخش‌های طرهان و رومشگان (با تعداد تسلط ۲) بالاترین ریسک را برای وقوع زمین‌لغزش داشته و پس از آن به ترتیب بخش‌های کوهنанی (با تعداد تسلط ۱)، درب گنبد و مرکزی (بدون تعداد تسلط) قرار

۱- گروه جغرافیای طبیعی، دانشکده علوم جغرافیایی، دانشگاه اصفهان، اصفهان. (نویسنده مسئول).

۲- دانشجوی دکتری جغرافیای طبیعی، گرایش ژئومورفولوژی، دانشگاه خوارزمی تهران.

۳- دانشجوی دکتری گروه جغرافیای طبیعی، دانشکده علوم جغرافیایی، دانشگاه اصفهان، اصفهان.

دارند. میانگین وزن عوامل با توجه به معیارهای هماهنگ، برای بخش‌های طرهان (۰/۴۲۷)، رومشگان (۰/۰۴۱۲)، کوهناتی (۰/۳۵۹)، درب گند (۰/۰۲۵۳) و مرکزی (۰/۲۱۷) می‌باشد. از جمله عواملی که سبب حساسیت بالای بخش‌های طرهان و رومشگان گشته، درصد بالای شبکه‌های حساس و مستعد (۱۵ تا ۴۵ درجه)، وضعیت سنگ‌شناسی (با غلبه آهک لایه‌ای و مارن)، کاربری اراضی نامناسب و شبکه هیدرو گرافی را می‌توان نام برد.

کلید واژه‌ها: زمین‌لغزش، مدل Electre، کوه‌دشت.

مقدمه

زمین‌لغزش‌ها عبارت‌اند از جدایی مواد زمینی در طول سطح لایه‌بندی یا پیشانی هوازده یا هر ناحیه کم مقاومت دامنه‌ای که با لغزش‌های بعدی توده‌ای مواد به سمت پایین دامنه همراه است (Motamed, 2010: 81). بر اساس گزارش پایگاه اطلاعاتی شناخت مصیبتهای فراگیر (EM-DAT) دانشگاه لووان بلژیک، خطر زمین‌لغزش در فهرست مصیبتهای فراگیر قرار دارد که شناخت، آمادگی و واکنش در برابر آن ضروری می‌باشد (Moghimi and Goodarzi Nejad, 2003: 45). تنها در اسناد ۱۹۴۷ تا ۱۹۷۰، تقریباً سه هزار نفر از ساکنین کره زمین قربانی زمین‌لغزش‌ها بوده‌اند (Zomordian, 2007: 116). از آنجاکه پیش‌بینی زمان یک زمین‌لغزش هنوز امکان‌پذیر نبوده و ابزاری برای آن، جهت این مهم تاکنون عرضه نگردیده است بنابراین شناسایی مناطق مختلفی که وقوع زمین‌لغزش در آن‌ها بیش‌تر است و نیز رتبه‌بندی آن می‌تواند ما را از خطرات ناشی از آن‌ها مصون داشته یا لااقل آسیب‌ها را کاهش دهد، اهمیت زیادی دارد (Ranjbar and Roghani, 2009: 21). دامنه‌های ناپایدار دارای مناظر متمایز معینی از جمله موارد ذیل هستند: پرشیب‌اند، غالباً مرتفع می‌باشند، تمرکز فشار آب در آن‌ها دیده می‌شود، پوشش خاک عمده‌تاً هوازده است، پای دامنه غال با کنده‌شده است، مواد سست زیر مواد سخت‌تر قرار دارند، در معرض رگبارهای شدید می‌باشند و فعالیت زلزله در زمین و بستر آن‌ها زیاد است (Moghimi and Mahmoudi, 2004: 215). تصویب و اجرای هر طرح و برنامه‌ای در چنین مناطقی بدون شناخت و بررسی این مناطق زیان‌های جانی و مالی در پی خواهد داشت.

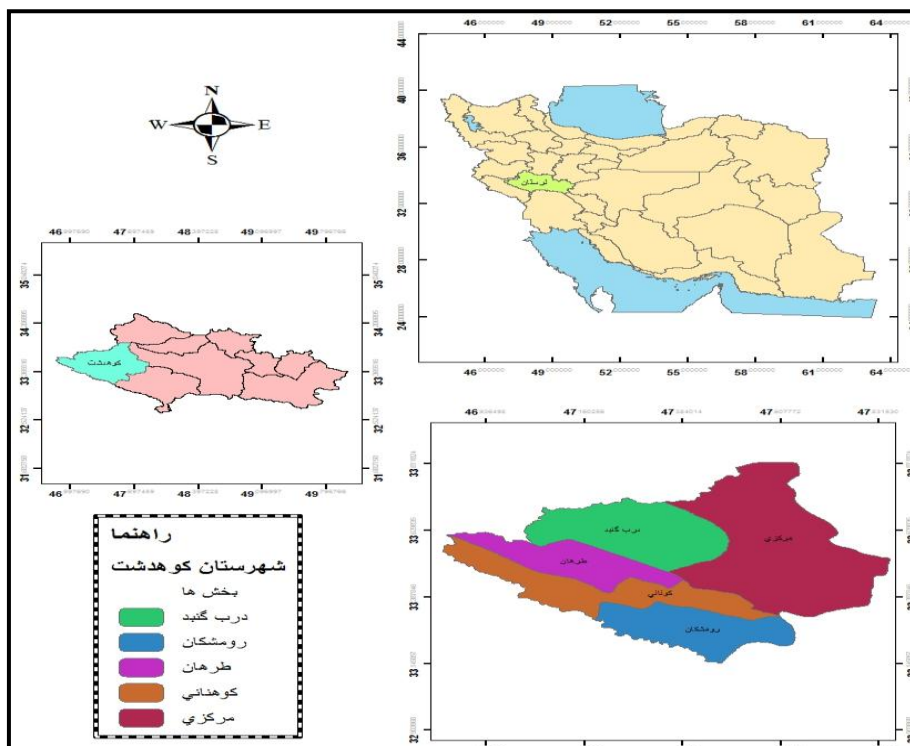
در زمینه پیشینه تحقیق می‌توان به موارد زیر اشاره کرد: Amjad and Ghorbanpour (2008) پهنه‌بندی زمین‌لغزش حوضه چرمه به چهار روش تراکم سطح، وزن متغیرها و Behniafar et al (2009) Azimpour et al (2009) پهنه‌بندی زمین‌لغزش حوضه آبریز رودخانه کنگ به روش AHP و احتمال، Ranjbar and Roghani (2009) al ارزیابی نتایج AHP در پهنه‌بندی خطر زمین‌لغزش حوضه آبریز اهرچای، Ilanloo et al (2009) (2009)، پهنه‌بندی خطر زمین‌لغزش در شهرستان اردل، پهنه‌بندی حوزه احتمالی جابجایی حوزه آبریز سد کرج، Behniafar et al (2010) استفاده از منطقه فازی در منطقه بندی فضایی زمین‌لغزش، Abedini et al (2014) (2009) al پهنه‌بندی زمین‌لغزش حوضه چلاو آمل، و مدل‌سازی خطر وقوع زمین‌لغزش با

استفاده از مدل آماری رگرسیون لجستیک مطالعه موردي: استان کردستان، شهرستان بیجار، (Shirani and Arab Ameri 2015) پنهانی خطر وقوع زمین‌لغزش با استفاده از روش رگرسیون لجستیک (مطالعه موردی: حوزه دز علیا)، (Shirzadi et al 2015) مقایسه روش‌های رگرسیون لجستیک، فراوانی نسبت و تجزیه و تحلیل سلسله مراتبی در تهیه نقشه‌ی حساسیت ریزش سنگ (مطالعه موردی: استان کردستان، گدازه صلووات آباد، Arab Ameri 2016) ارزیابی توانایی پیش‌بینی مدل‌های آماری و لجستیک برای تهیه نقشه زیست‌شناسی خطر لغزش زمین (مطالعه موردی: حوزه ونک)، (Deljoey et al 2016) ارزیابی روش‌های مختلف خطر زمین‌لغزش در جنگلهای اکوسيستمي، (Samandar et al 2019) به ارزیابی عملکرد روش‌های آماری رگرسیون لجستیک و شبکه عصبی چندلایه پرسپترون در پیش‌بینی وقوع حرکات توده‌ای حوضه آبریز کمانچ‌چای علیا پرداختند. (Faizollahpour and Momipour 2020) به پنهانی مناطق مستعد زمین‌لغزش با استفاده از پرسپترون چند لایه از نوع پیش‌خور با الگوريتم پس انتشار در حوضه رودخانه سنگورچای پرداختند. (Tarun Kumar et al 2014) طرح ارزیابی حساسیت پایداری شب (SSEP)، (Marappu and Jakka 2014) روش‌های شناخت خطر لغزش زمین، (Lee Lin et al 2017) نقشه‌برداری حساسیت به زمین‌لغزش با استفاده از منطق رگرسیون، (Depak Kumar et al 2017) شناسایی مناطق حساس به لغزش در دره مانده‌کینی (هیمالیائی، al، نقشه‌برداری حساسیت به زمین‌لغزش و پیش‌بینی با استفاده از ماشین پشتیبانی برای حوضه رودخانه ماندانکی، هارمولا هارمیلاي، هند، (Poonam et al 2017) شناسایی مناطق حساس به لغزش در دره مانده‌کینی (هیمالیائی مرکزی) با استفاده از روش وزن گیری شواهد، (Cruizier 2017) یک مدل پیشنهادی برای وقوع رخدادهای زمستانی زمین‌لغزش منطقه‌ای چندگانه: اثر نقشه‌برداری حساسیت به لغزش، رویکردی یکپارچه برای پنهان شدن خطرات زمین‌لغزش ناشی از زلزله بر اساس سناريوهای احتمالی لزهای برای جزایر فلگرین Procida، Ischia، Vivara، ایتالیا، (Laisbeth Jacob et al 2017) ویژگی‌ها و توزیع فضایی زمین‌لغزش در کوهستان روانزوری، اوگاندا اعتبار مدل‌های خطر زمین‌لغزش با استفاده از یک موتور معنایی. هدف از این مطالعه، (Battistini et al 2017) رتبه‌بندی زیر مناطق شهرستان کوهدهشت ازنظر آسیب‌پذیری نسبت به زمین‌لغزش و شناسایی عوامل مؤثر در آن می‌باشد. برای این منظور از روش Electre استفاده شده است. در این روش عوامل تأثیرگذار در زمین‌لغزش با توجه به شرایط منطقه وزن‌دهی شده و رتبه‌بندی می‌شوند. همچنین امكان مطالعه و بررسی هم‌زمان چندین عامل وجود داشته، با مقایسه زوجی عوامل با یکدیگر و تعیین وزن نهایی آن‌ها، عوامل اصلی و مؤثرتر مشخص می‌گردد.

موقعیت منطقه مورد مطالعه

شهرستان کوهدهشت بین ۴۶ درجه و ۵۱ دقیقه تا ۴۷ درجه و ۵۰ دقیقه طول شرقی و ۳۳ درجه و ۹ دقیقه تا ۳۳ درجه و ۵۶ دقیقه عرض شمالی در غرب استان لرستان واقع شده است (شکل ۱). این شهرستان از شمال به شهرستان دلفان و استان کرمانشاه، از جنوب به شهرستان پلدختر و استان ایلام، از شرق به شهرستان خرم‌آباد و از مغرب به استان ایلام محدود شده است. بر اساس آخرین تقسیمات کشوری شهرستان کوهدهشت از ۵ نقطه شهری (بخش‌ها) درب گنبد، مرکزی، کوهنانی، طرهان و رومشگان تشکیل شده است. کوهدهشت در حوزه آبریز رودخانه

منطقه کرخه، زیر حوضه کشکان واقع شده است. حداقل ارتفاع شهرستان ۲۶۲۵ و حداقل آن ۵۳۸ متر می‌باشد. ارتفاعات منطقه بیشتر در نواحی شمالی، غربی و شرقی و دشت‌ها در جنوب و مرکز منطقه واقع شده‌اند.



شکل ۱: موقعیت شهرستان کوهدشت و بخش‌های آن

Figure 1: Location of Kuhdasht city and its parts

مواد و روش‌ها

در این تحقیق سعی بر آن شده تا با استفاده از مدل Electre، مناطق مختلف شهرستان کوهدشت از نظر ریسک و قوع زمین‌لغزش باهم مقایسه شوند. روش Electre ماتریس تصمیمی را ارزیابی می‌کند که شامل m گزینه و n شاخص است. در این ماتریس شاخصی که دارای مطلوبیت به‌طور یکنواخت افزایشی است شاخص مثبت و شاخصی که دارای مطلوبیت به‌طور یکنواخت کاهشی است، شاخص منفی می‌باشد. علاوه بر این، هر نتیجه اظهار شده در ماتریس تصمیم که پارامتری باشد لازم است کمی شود؛ و از آنجا که شاخص‌ها برای تصمیم‌گیرنده از اهمیت یکسانی برخوردار نیست، مجموعه‌ای از وزن‌ها از سوی تصمیم‌گیرنده ارائه می‌شود.

مراحل کار در مدل Electre

- ۱- تعیین ماتریس تصمیم‌گیری با توجه به شاخص‌ها و گزینه‌ها
- ۲- بی‌مقیاس سازی با استفاده از روش مقایسه زوجی
- ۳- به‌دست آوردن ماتریس بی‌مقیاس شده موزون
- ۴- ارزیابی گزینه‌ها نسبت به تمام شاخص‌ها و تشکیل ماتریس‌های هماهنگ و ناهمانگ

- به دست آوردن ماتریس هماهنگ مؤثر
- به دست آوردن ماتریس ناهماهنگ مؤثر
- به دست آوردن ماتریس کلی مؤثر از ترکیب ماتریس هماهنگ مؤثر و ناهماهنگ مؤثر

یافته‌ها و بحث

- پیاده کردن مدل Electre بر روی شهرستان کوهdasht جهت بررسی وضعیت زمین‌لغزش
- ماتریس تصمیم (خام) برای مسئله زمین‌لغزش شهرستان کوهdasht:

برای امتیازدهی به معیارها در ماتریس خام از روش کارشناسی استفاده شده است. در این مورد از سه نفر کارشناس متخصص زمین‌شناسی، متخصص ژئومورفولوژی و متخصص آبخیزداری بهره گرفته شده است؛ که با استفاده از بازدید میدانی، داده‌ها و نقشه‌ها و اطلاعات مورد نیاز به امتیازدهی معیارها و گزینه‌ها پرداخته‌اند.

برای تشکیل ماتریس تصمیم در مدل Electre توجه به نکات زیر ضروری است:

 - روند صعودی یا نزولی پارامترها را مشخص می‌کنیم؛ یعنی مشخص می‌کنیم که یک پارامتر هر چه عددش (مقدارش) بزرگ‌تر باشد مؤثرتر است یا بر عکس.
 - اگر در بستن ماتریس تصمیم، معیار کیفی داشته باشیم می‌توانیم آن را تبدیل به معیار کمی کنیم. برای این کار از ۱ تا ۹ به آنها وزن می‌دهیم.
 - اگر برای یک معیار مطلوبیت در بیش‌تر و کم‌تر نباشد باید این معیار را نیز تبدیل به اعداد ۱ تا ۹ کنیم یعنی آن مقدار که برای ما از همه مطلوب‌تر است را ۹ و آن که از همه کم اثرتر است را ۱ می‌دهیم.

ماتریس تصمیم (ماتریس خام) مسئله زمین‌لغزش شهرستان کوهdasht بعد از کمی کردن، تعیین روند صعودی و نزولی پارامترها و ارزش‌گذاری مقادیری که کم‌تر یا بیش‌تر بودن آنها نشان‌دهنده میزان اهمیتشان نیست، به صورت جدول (۱) می‌باشد:

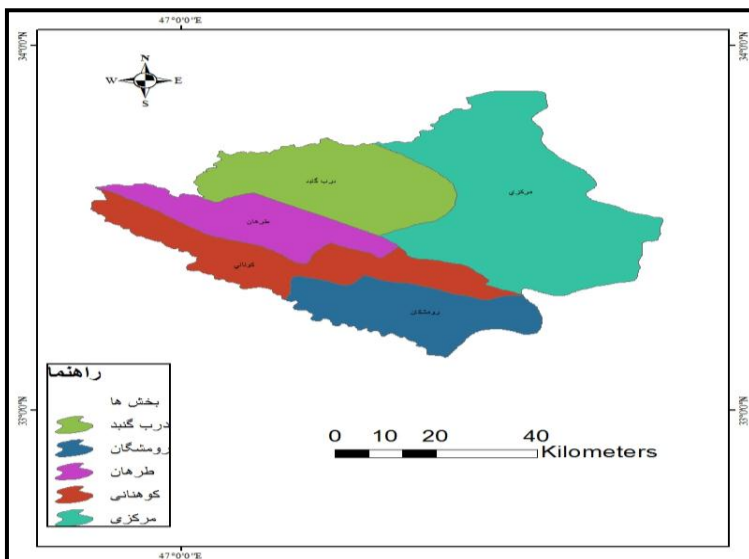
جدول ۱- ماتریس تصمیم برای مسئله زمین‌لغزش شهرستان کوهdasht

Table 1- Decision matrix for landslide problem in Kuhdasht city

	شیب	سنگ‌شناسی	بارش	ارتفاع	کاربری اراضی	آبراهه
مرکزی	۶	۱	۸	۸	۲	۳
رومشگان	۵	۵	۴	۴	۸	۷
کوهانی	۸	۷	۵	۵	۹	۸
درب گند	۹	۳	۷	۷	۳	۴
طرهان	۷	۲	۶	۶	۷	۵
جمع	۳۵	۱۸	۳۰	۳۰	۲۹	۲۷

پارامترهای در نظر گرفته شده در ماتریس تصمیم مهم‌ترین فاکتورهای مؤثر در وقوع زمین‌لغزش می‌باشند. گزینه‌های ماتریس تصمیم هم ۵ بخش شهرستان کوهdasht می‌باشند (شکل ۲) که برای بررسی دقیق‌تر در روش ELECTRE

در نظر گرفته شده‌اند. امتیازی که هر بخش برای هر پارامتر گرفته است بر طبق محاسبات صورت گرفته با توجه به اطلاعات موجود و شناخت نویسنده‌گان از موضوع و منطقه‌می‌باشد. توجه شود که اعداد بزرگ‌تر در ماتریس تصمیم، نشان‌دهنده اهمیت بیش‌تر پارامترها در رابطه با وقوع زمین‌لغزش است.



شکل ۲: گزینه‌های ماتریس خام مدل Electre (بخش‌های شهرستان کوه‌دشت)

Figure 2: Raw matrix options in the Electre model (parts of Kuhdasht City)

- نرمالیزه کردن ماتریس تصمیم (بی‌بعد سازی مقیاس‌ها)

این مرحله شامل بی‌مقیاس (بی‌بعد) کردن مقیاس‌های موجود در ماتریس تصمیم است. به این ترتیب که هر کدام از مقادیر بر اندازه (جمع) بردار مربوط به همان شاخص (معیار، عامل، فاکتور خرید) تقسیم می‌شود.

جدول ۲- ماتریس نرمالیزه شده

Table 2- Normalized matrix

	شیب	ستگشناستی	بارش	ارتفاع	کاربری اراضی	آبراهه
مرکزی	۰/۷۷۱۴	۰/۰۵۶۶	۰/۲۶۶۷	۰/۲۶۶۷	۰/۰۶۹۰	۰/۱۱۱۱
رومشگان	۰/۱۴۲۹	۰/۲۷۷۸	۰/۱۳۳۳	۰/۱۳۳۳	۰/۲۷۵۹	۰/۲۵۹۲
کوه‌هانی	۰/۲۲۸۶	۰/۳۸۸۹	۰/۱۶۶۷	۱/۱۶۶۷	۰/۳۱۰۳	۰/۲۹۶۳
درب گند	۰/۲۵۷۱	۰/۱۶۶۷	۰/۲۳۳۳	۰/۲۳۳۳	۰/۱۰۳۴	۰/۱۴۴۸
طرهان	۰/۲۰۰۰	۰/۱۱۱۱	۰/۲۰۰۰	۰/۲۰۰۰	۰/۲۴۱۴	۰/۱۸۵۲

- وزن دادن به ماتریس تصمیم (تشکیل ماتریس بی‌بعد وزین)

برای تشکیل ماتریس بی‌بعد وزین باید وزن پارامترها را داشته باشیم که برای این منظور نیاز به مقایسه تک‌تک عوامل باهم و ترسیم ماتریس مقایسه زوجی داریم. در این مرحله باید اهمیت فاکتورها را بیان کنیم. برای این کار عناصر هر سطح نسبت به عنصر مربوطه خود در سطح بالاتر به صورت زوجی مقایسه شده و وزن آن‌ها محاسبه

می‌گردد. مقایسه زوجی در یک ماتریس K در K (که در این تحقیق برای مقایسه یک ماتریس ۶ در ۶ است) انجام می‌شود (جدول ۳). این وزن‌ها را وزن نسبی می‌نامیم. سپس با تلفیق این وزن‌ها، وزن نهایی هر گزینه مشخص می‌شود (ستون بردار ویژه در جدول ۴).

جدول ۳- ماتریس مقایسه زوجی پارامترهای مؤثر در زمین‌لغزش شهرستان کوهدشت

Table 3- Matrix of pairwise comparison of effective parameters in landslide in Koohdasht city

	شیب	سنگ‌شناصی	بارش	ارتفاع	کاربری اراضی	آبراهه
شیب	۱/۰۰۰۰	۲/۰۰۰۰	۳/۰۰۰۰	۴/۰۰۰۰	۵/۰۰۰۰	۶/۰۰۰۰
سنگ‌شناصی	۰/۵۰۰۰	۱/۰۰۰۰	۲/۰۰۰۰	۳/۰۰۰۰	۴/۰۰۰۰	۵/۰۰۰۰
بارش	۰/۳۳۳۳	۰/۵۰۰۰	۱/۰۰۰۰	۲/۰۰۰۰	۳/۰۰۰۰	۴/۰۰۰۰
ارتفاع	۰/۲۵۰۰	۰/۳۳۳۳	۰/۵۰۰۰	۱/۰۰۰۰	۲/۰۰۰۰	۳/۰۰۰۰
کاربری اراضی	۲/۰۰۰۰	۰/۲۵۰۰	۰/۳۳۳۳	۰/۵۰۰۰	۱/۰۰۰۰	۲/۰۰۰۰
آبراهه	۰/۱۶۶۷	۲/۰۰۰۰	۰/۲۵۰۰	۰/۳۳۳۳	۰/۵۰۰۰	۱/۰۰۰۰
جمع	۲/۴۵۰۰	۴/۲۸۳۳	۷/۰۸۳۳	۱۰/۸۳۳۳	۱۵/۵۰۰۰	۲۱/۰۰۰۰

وزن‌هایی که در اینجا برای مقایسه زوجی پارامترها به آن‌ها داده شده است نیز بر اساس میزان تأثیر آن‌ها در وقوع زمین‌لغزش می‌باشد.

در گام بعدی

- ابتدا حاصل جمع هر ستون را به دست می‌آوریم. سپس هر عنصر در ماتریس زوجی را به جمع ستون خودش تقسیم می‌کنیم تا ماتریس مقایسه زوجی نرمالیزه شود. در آخر مقدار میانگین هر سطر در ماتریس نرمالیزه را محاسبه می‌کنیم که بردار ویژه نام دارد.

جدول ۴- تلفیق وزن‌ها در ماتریس مقایسه زوجی

Table 4- Combining weights in a pairwise comparison matrix

	شیب	سنگ‌شناصی	بارش	ارتفاع	کاربری اراضی	آبراهه	بردار ویژه
شیب	۰/۴۰۸۲	۰/۰۴۶۶۹	۰/۴۲۳۵	۰/۳۶۹۲	۰/۳۲۲۶	۰/۲۸۵۷	۰/۳۷۹۴
سنگ‌شناصی	۰/۲۰۴۱	۰/۳۳۳۵	۰/۲۸۲۴	۰/۲۷۶۹	۰/۲۵۸۱	۰/۳۳۸۱	۰/۲۴۸۸
بارش	۰/۱۳۶۱	۰/۱۱۶۷	۰/۱۴۱۲	۰/۱۸۴۶	۰/۱۹۳۵	۰/۱۹۰۵	۰/۱۶۰۴
ارتفاع	۰/۱۰۲۰	۰/۰۷۷۸	۰/۰۷۰۶	۰/۰۹۲۳	۰/۱۲۹۰	۰/۱۴۲۹	۰/۱۰۲۴
کاربری اراضی	۰/۰۸۱۶	۰/۰۵۸۴	۰/۰۴۷۱	۰/۰۴۶۲	۰/۰۶۴۵	۰/۰۹۵۲	۰/۰۶۵۵
آبراهه	۰/۰۶۸۰	۰/۰۴۶۷	۰/۰۳۵۳	۰/۰۳۰۸	۰/۰۳۲۳	۰/۰۴۶۷	۰/۰۴۳۴

جدول ۵- ماتریس بی بعد وزین

Table 5- Dimensional weightless matrix

	شیب	سنگ‌شناسی	بارش	ارتفاع	کاربری اراضی	آبراهه
مرکزی	۰/۰۶۵۰	۰/۰۱۳۸	۰/۰۴۳۷	۰/۰۳۷۳	۰/۰۰۴۵	۰/۰۰۴۸
رومشگان	۰/۰۵۱۴	۰/۰۶۱۹	۰/۰۲۱۳	۰/۰۱۳۲	۰/۰۱۸۰	۰/۰۱۱۲
کوهنامی	۰/۰۸۶۷	۰/۰۹۶۷	۰/۰۲۶۷	۰/۰۱۷۰	۰/۰۲۰۳	۰/۰۱۲۸
درب گندب	۰/۰۹۷۵	۰/۰۴۱۴	۰/۰۳۷۴	۰/۰۳۳۹	۰/۰۰۶۷	۰/۰۰۶۴
طرهان	۰/۰۷۵۷	۰/۰۳۷۶	۰/۰۳۲۴	۰/۰۰۲۰۴	۰/۰۱۵۸	۰/۰۰۸۰

تشکیل مجموعه ماتریس‌های هماهنگ و ناهمانگ

$$V = N * W$$

رابطه (۲)

جایی که V ماتریس بی مقیاس وزین و N ماتریس نرمالیزه شده و W وزن معیارها می‌باشد با استفاده از عناصر ماتریس V مجموعه هماهنگی $C(k, l)$ که شامل معیارهایی می‌باشد که در آن‌ها گزینه k بر گزینه l ترجیح داده می‌شود و مجموعه ناهمانگی $D(k, l)$ که شامل معیارهایی می‌باشد که در آن‌ها گزینه l بر گزینه k ترجیح داده می‌شود با استفاده از روابط زیر به دست آورده می‌شود.

$$C(k, l) = \begin{cases} j | v_{kj} \geq v_{lj} & j \in J^+ \\ j | v_{kj} < v_{lj} & j \in J^- \end{cases} \quad \text{رابطه (۳)}$$

$$D(k, l) = \begin{cases} j | v_{kj} < v_{lj} & j \in J^+ \\ j | v_{kj} \geq v_{lj} & j \in J^- \end{cases} \quad \text{رابطه (۴)}$$

جایی که J^+ شاخص‌های مثبت و J^- شاخص‌های منفی می‌باشد.
با استفاده از اطلاعات فوق ماتریس مربع $m*m$ هماهنگی (I) که عناصر آن از جمع اوزان شاخص‌هایی که به مجموعه هماهنگی تعلق دارند و ماتریس $m*m$ ناهمانگی (NI) که عناصر آن از رابطه شماره ۸ به دست می‌آید به صورت زیر تشکیل می‌شود.

$$I_{m*m} = \begin{bmatrix} - & I_{12} & \dots & I_{1m} \\ I_{21} & - & \dots & I_{2m} \\ \vdots & & \ddots & \vdots \\ I_{m1} & I_{m2} & \dots & - \end{bmatrix} \quad \text{رابطه (۵)}$$

$$I_{kl} = \sum_{j \in C(k,l)} w_j \quad \text{رابطه (۶)}$$

$$NI_{m*m} = \begin{bmatrix} - & NI_{12} & \dots & NI_{1m} \\ NI_{21} & - & \ddots & NI_{2m} \\ \vdots & \ddots & \ddots & \vdots \\ NI_{m1} & NI_{m2} & \dots & - \end{bmatrix} \quad \text{رابطه (۷)}$$

$$NI_{kl} = \frac{\max_{j \in D(k,l)} |v_{kj} - v_{lj}|}{\max_{j \in J} |v_{kj} - v_{lj}|} \quad \text{رابطه (۸)}$$

جدول ۶- ماتریس هماهنگی (I)

Table 6- Coordination matrix (I)

	مرکزی	رومشگان	کوهنامی	درب گند	طرهان
مرکزی		۰/۶۴۲۲	۰/۲۶۲۸	۰/۲۶۲۸	۰/۲۶۲۸
رومشگان	۰/۳۵۷۷		*	۰/۳۵۷۷	۰/۳۵۷۷
کوهنامی	۰/۷۳۷۱	۱		۰/۳۵۷۷	۰/۷۳۷۱
درب گند	۰/۷۳۷۱	۰/۶۴۲۲	۰/۶۴۲۲		۰/۸۹۱۰
طرهان	۰/۷۳۷۱	۰/۶۴۲۲	۰/۲۶۲۸	۰/۱۰۸۹	

جدول ۷- ماتریس ناهماهنگی (N)

Table 7- Disharmony matrix (N)

	مرکزی	رومشگان	کوهنامی	درب گند	طرهان
مرکزی		۱	۱	۱	۱
رومشگان	۰/۳۸۶۸		۱	۱	۰/۵۲۲۷
کوهنامی	۰/۱۹۳۴	*		۰/۱۹۶۰	۰/۰۷۷۳
درب گند	۰/۱۶۴۴	۰/۶۳۷۷	۱		۰/۴۱۶۷
طرهان	۰/۷۷۳۷	۱	۱	۱	

تشکیل ماتریس هماهنگ مؤثر (F) و ماتریس ناهماهنگ مؤثر (G)

برای ایجاد ماتریس هماهنگ مؤثر (F) ابتدا یک مقدار آستانه تعیین کرده و سپس هر عنصر ماتریس I را که بزرگ‌تر یا مساوی این مقدار آستانه بود در ماتریس F مقدار یک و در غیر این صورت مقدار صفر می‌گیرد. یک روش عمومی برای تعیین این مقدار آستانه (Ī) عبارت است از میانگین مقادیر ماتریس I

$$\bar{I} = \sum_{k=1}^m \sum_{l=1}^m \frac{I_{kl}}{m(m-1)} \quad \text{رابطه (۹)}$$

$$F_{kl} = \begin{cases} 0 & I_{kl} < \bar{I} \\ 1 & I_{kl} \geq \bar{I} \end{cases} \quad (10)$$

جدول ۸- ماتریس هماهنگ مؤثر (F)

Table 8- Effective Coordinate Matrix (F)

	مرکزی	رومشگان	کوهنامی	درب گنبد	طرهان
مرکزی
رومشگان	۱	.	.	.	۱
کوهنامی	۱	۱		۱	۱
درب گنبد	۱	۱	.		۱
طرهان	.	.	۱	۱	

برای تشکیل ماتریس ناهماهنگ مؤثر (G) نیز مقدار آستانه (\bar{NI}) مانند ماتریس F به دست می‌آید. تنها تفاوت در اینجا است که هر عنصر ماتریس NI که کوچک‌تر یا مساوی این مقدار آستانه بود در ماتریس G مقدار یک و در غیر این صورت مقدار صفر می‌گیرد.

$$\bar{NI} = \sum_{k=1}^m \sum_{l=1}^m \frac{NI_{kl}}{m(m-1)} \quad (11)$$

$$G_{kl} = \begin{cases} 0 & NI_{kl} > \bar{NI} \\ 1 & NI_{kl} \leq \bar{NI} \end{cases} \quad (12)$$

جدول ۹- ماتریس ناهماهنگ مؤثر (G)

Table 9- Effective uncoordinated matrix (G)

	مرکزی	رومشگان	کوهنامی	درب گنبد	طرهان
مرکزی	.	۱		۱	۱
رومشگان	۱	.	۱	۱	۱
کوهنامی	.	.		۱	.
درب گنبد
طرهان	.	.	۱	۱	

تشکیل ماتریس جامع مؤثر (H)

با ترکیب دو ماتریس هماهنگ مؤثر و ناهماهنگ مؤثر، ماتریس جامع مؤثر (H) که یک ماتریس بولی (صفر و یک) می‌باشد به دست می‌آید. عناصر این ماتریس به صورت زیر محاسبه می‌شود:

$$H_{kl} = F_{kl} * G_{kl} \quad (13)$$

ماتریس H نشان‌دهنده ترتیب ارجحیت‌های نسبی از گزینه‌های رتبه‌بندی و ملاک رتبه‌بندی گزینه‌ها می‌باشد. به منظور حذف گزینه‌های کم جاذبه می‌توان گزینه‌های مؤثر را از ماتریس H تشخیص داد. بدین طریق که هر ستونی

از ماتریس H را که حداقل دارای یک عنصر برابر با یک باشد حذف نمود؛ زیرا آن ستون تحت تسلط ردیف یا ردیف‌هایی می‌باشد. به عبارت دیگر سط्रی که بسامد عدد یک در آن بیشتر باشد بیانگر رتبه بالاتر آن گزینه می‌باشد.

جدول ۱۰- تشکیل ماتریس جامع مؤثر (H)

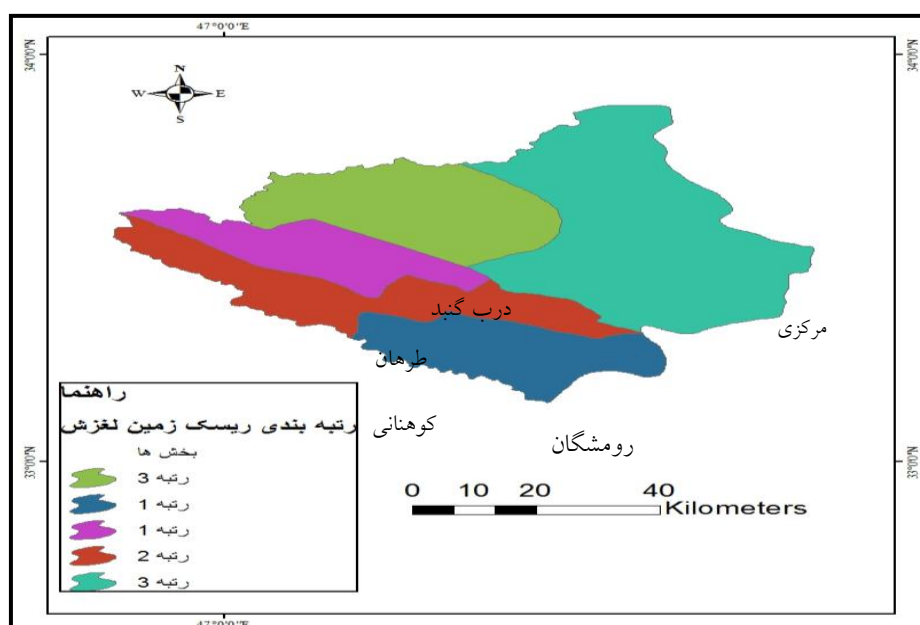
Table 10- Formation of an effective comprehensive matrix (H)

	مرکزی	رومشگان	کوهنازی	درب گند	طرهان
مرکزی
رومشگان	۱	.	.	.	۱
کوهنازی	.	.	.	۱	.
درب گند
طرهان	.	.	۱	۱	.

جدول ۱۱- رتبه‌بندی بخش‌های شهرستان کوهdasht از نظر حساسیت به زمین‌لغزش

Table 11- Ranking of sections of Kuhdasht city in terms of landslide sensitivity

	تعداد مسلط	تعداد مغلوب	اختلاف	رتبه
طرهان	۲	۲	۰	۱
رومشگان	۲	۲	۰	۱
کوهنازی	۱	۳	-۲	۲
درب گند	۰	۴	-۴	۳
مرکزی	۰	۴	-۴	۳



شکل ۳: نقشه نهایی رتبه‌بندی ریسک زمین‌لغزش برای شهرستان کوهdasht

Figure 3: Final landslide risk ranking map for Kuhdasht city

نتیجه‌گیری

پس از محاسبه تعداد تسلط هر یک از گزینه‌ها (بخش‌ها)، بر اساس ترتیب نزولی آن‌ها می‌توان گزینه‌ها را رتبه‌بندی کرد. با توجه به جدول (۱۱)، بخش‌های طرهان و رومشگان (با تعداد تسلط ۲) در غرب و جنوب شهرستان بالاترین ریسک را برای وقوع زمین‌لغزش داشته و پس از آن به ترتیب بخش‌های کوهنانی (با تعداد تسلط ۱)، درب گند و مرکزی (بدون تعداد تسلط) قرار دارند. میانگین وزن عوامل با توجه به معیارهای هماهنگ، برای بخش‌های طرهان (۰/۴۲۷)، رومشگان (۰/۴۱۲)، کوهنانی (۰/۳۵۹)، درب گند (۰/۲۵۳) و مرکزی (۰/۲۱۷) می‌باشد. از جمله عواملی که سبب حساسیت بالای بخش‌های طرهان و رومشگان گشته، درصد بالای شیب‌های حساس و مستعد (۱۵ تا ۴۵ درجه)، وضعیت سنگ‌شناسی (با غلبه آهک لایه‌ای و مارن)، کاربری اراضی نامناسب و شبکه هیدرو گرافی را می‌توان نام برد.

در شمال و شرق شهرستان تنها در قسمت‌هایی که ارتفاعات توسط عوامل تکتونیکی تحت تأثیر قرار گرفته‌اند حساسیت به وقوع زمین‌لغزش بالاست.

در صورت فراهم بودن شرایط بارندگی و وجود شیب مناسب، لغزیدن لایه آهک آسماری-شهبازان بر روی لایه شیل و مارن زیرین از علل اصلی وقوع لغزش در نقاط آسیب‌پذیر شهرستان کوهدهشت می‌باشد. تهیه نقشه مناطق حساس و پرخطر بهترین راهبرد برای اجتناب از ساخت‌وساز در مناطقی از شهرستان کوهدهشت است که مستعد زمین‌لغزش هستند. سیستم اطلاعات جغرافیایی (GIS) می‌تواند برای تهیه نقشه خطر زمین‌لغزش مورد استفاده قرار گیرد. نقشه‌های پهنه‌بندی زمین‌لغزش شهرستان می‌تواند برای تعیین حدود کاربری اراضی مانند ساخت جاده، قطع درختان برای الوار، یا حتی خانه‌سازی مورد استفاده قرار گیرد.

راهکارهای مهندسی جلوگیری از وقوع زمین‌لغزش در شهرستان کوهدهشت

- با توجه این‌که ارتباط بین نیروهایی که مانع لغزش دامنه‌ها می‌شوند ثابت و مسلم است، مهندسان می‌توانند مقدار این نیروها را برای ثابت نگهداشتن دامنه‌ها متعادل کنند. برای دامنه‌ای که قسمت بالای آن زیاد از حد بارگذاری شده است می‌توانیم بخش پایینی آن را نیز بارگذاری کنیم تا مانع از حرکت دامنه‌ای شویم. برای جلوگیری از حرکات دامنه‌ای بعضی اوقات مهندسان تخته‌سنگ‌های بزرگ و سنگینی را در پنجه دامنه‌ها مستقر کرده تا مقاومت نوده را افزایش دهند. زاویه شیب همچنین می‌تواند توسط برداشت در قسمت بالای دامنه یا بارگذاری و افزایش وزن در قاعده آن تغییر کند.

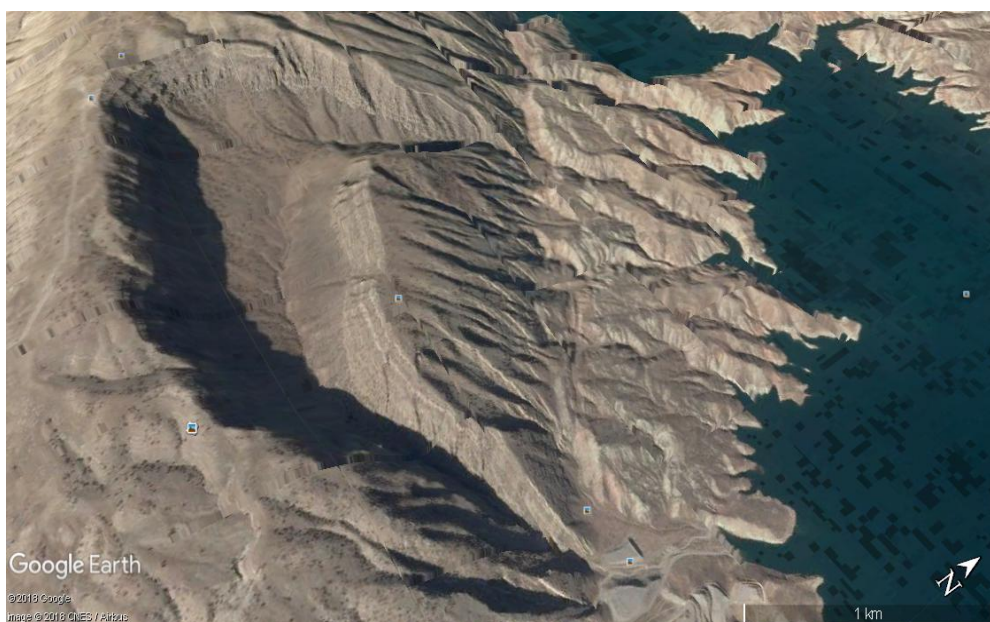
- در مورد شیب‌ها و دیوارهای سنگی نیز می‌توان با پاشیدن سیمان شاتکریت بر روی آن‌ها و پر کردن درز و شکاف‌ها از نفوذ آب به داخل آن‌ها جلوگیری کرد.

از دیگر راه حل‌های مهندسی، پوشاندن دامنه‌ها با شبکه‌های فلزی سنگین و محکم برای جلوگیری از ریزش سنگ‌ها بر روی ساختمان‌ها و بزرگراه‌ها است. برخی دامنه‌ها هم با کار گذاشتن سنگ چفت‌های بزرگ مهار می‌شوند.

- جلوگیری از نفوذ آب از طریق خاک می‌تواند مقاومت دامنه را افزایش داده و احتمال لغزش را کاهش دهد. یکی از مؤثرترین مکانیزم‌ها برای جلوگیری از نفوذ آب در خاک، کاشت درختان و بوته‌هایی است که باریشه‌هایشان آب را جذب نموده و با عمل تبخیر و تعرق خاک را خشک نگه می‌دارند.

- برخی از گونه‌های درختان و بوته‌ها بیشتر از دیگر گونه‌ها آب را از خاک جذب می‌کنند. به طور کلی آن‌هایی که در مجاور رودخانه‌ها و دریاچه‌ها رشد می‌کنند آب بیشتری را استفاده می‌کنند. متداول‌ترین آن‌ها درختان بید، درختان پنبه‌ای و صنوبر لرزان می‌باشد. مردم بعضی اوقات مناطق مستعد لغزش را برای جلوگیری از نفوذ آب با پلاستیک‌های مشکی می‌پوشانند.

- زهکشی مصنوعی از دیگر راه‌های پایدار کردن بسیاری از دامنه‌های است. اگر فضاهای منفذی و خلل و فرج خاک خیلی کوچک یا منفصل و جدا از هم باشند در آن صورت خاک نفوذپذیری کمتری خواهد داشت. آب نمی‌تواند به راحتی در بین منافذ کوچک نفوذ کند. یکی از پراستفاده‌ترین روش‌ها برای پایدار کردن این نوع دامنه‌ها، حفر سوراخ‌های کمی مورب و شیبدار در قسمت بالای دامنه و ملحق کردن این سوراخ‌ها به لوله‌های سوراخ‌دار می‌باشد. آب به داخل لوله‌ها زهکشی شده و از طریق لوله‌ها به بیرون هدایت می‌شود.



شکل ۴: تصویری از یک زمین‌لغزش در جنوب غرب شهرستان کوهدهشت

Figure 4: Image of a landslide in the southwest of Kuhdasht city

References

- Abedini, M., GHasemian, B., SHirzadi, A., (2014), "**Modeling the risk of occurrence of landslide using a logistic regression model Case study: Kurdistan province**", Bijar city, Geography and Development, 37: 105-102. [in Persian].
- Amir Ahmadi, A., Kamrani Dalir, H., Sadeghi, M., (2010), "Landslide hazard zonation using Analytical Hierarchy Process (AHP), Case Study of Chalav Amol Basin", **Journal of Iranian Geographical Society**, 27: 181-203. [in Persian].
- Arab Ameri, A., (2016), "Estimation of the ability to predict statistical and logistic models for the preparation of a landslide hazard zonation map (Case study: Vanak Basin)", **Natural Geography Quarterly**, 32: 123-140. [In Persian].
- Azimpour, A., Sadouqi, H., Dalalaghly, A., Sharveti, M., (2009), "Evaluation of AHP Results in Landslide Risk Alignment, Aharchay River Basin Study", **Geographical Space**, 26 (9): 71-87.
- Marappu, B., Sankar Jakka, R., (2018), "Landslide Hazard Zonation Methods: A Critical Review", **International Journal of Civil Engineering Research**, 16: 73-94.
- Battistini, A., Rosi, A., Segoni, S., Lagomarsino, D., Catani, F., Casagli, N., (2017), "Validation of landslide hazard models using a semantic engine on online news", **Applied Geography**, 82: 59-65.
- Behnifar, A., Ghanbarzadeh, H., Mansouri Daneshvar, M. R., (2009), "Landslide hazard zonation and domain instability by AHP and probability methods (case study of the catchment of the Kang River, northern slopes of Binalood)", **Geographical location**, 27: 55-78. [In Persian].
- Behnifar, A., Mansouri Daneshvar, M. R., Ghanbarzadeh, H., (2010), "Application of AHP model and fuzzy logic in zoning of landslide hazards, Case study of Frizi watershed in the northern slopes of Binalood Mountains", **Natural Geography Quarterly**, 9: 100-89. [In Persian].
- Caccavale, M., Matano, F., Sacchi, M., (2017), "An integrated approach to earthquake-induced landslide hazard zoning based on probabilistic seismic scenario for Phleorean Islands (Ischia, Procida and Vivara), Italy", **Geomorphology**, 295: 235-259.
- Chorley, G. R., Stanley, E. Sh., Suden, D. A., (2000), "Geomorphology (Range, Channel, Coastal and Wind Processes)", A, Motamed", **Part Publishing**, First Edition. [In Persian].
- Crozier, M. J., (2017), "A proposed cell model for multiple-occurrence regional landslide events: Implications for landslide susceptibility mapping", **Geomorphology**, 295: 480-488.
- Deepak, K., Manoj, T., Chandra, S. D., Dericks, P. Sh., (2017), "Landslide susceptibility mapping & prediction using Support Vector Machinefor Mandakini River Basin, Garhwal Himalaya, India", **Geomorphology**, 295: 115-125.
- Deljoei, A., Hoseini, S. A., Sadeghi, M. M., (2016), "Evaluation of different aspects of zoning the risk of landslides in forest ecosystems", **Journal of Watershed Development Promotion and Development**, 13 (4): 7-14, [In Persian].
- Faizollahpour, M., Momipour, M., (1399), "Zoning of landslide prone areas using multilayer perceptron of feed type with post-diffusion algorithm (Case study: Sangorchai river basin)", **Geographical space**, 20 (69): 97-116. [In Persian].
- Ilanlou, M., Moghimi, E., Sharoti, M., (2009), "Mass grave risk zonation using Analytical Hierarchy Process (AHP), (Case Study of Karaj Dam Basin)", **Natural History Journal**, 5 (2): 85-95. [In Persian].

- Le, L., Qigen, L., Ying, W., (2017), "Landslide susceptibility mapping on a global scale using the method of logistic regression, Nat", *Hazards Earth Syst. Sci.*, 17: 1411-1424.
- Liesbet, J., Dewitte, O., Poesen, J., Maes, J., Mertens, K., Sekajugo, J., Matthieum, K., (2017), "Landslide characteristics and spatial distribution in the Rwenzori Mountains, Uganda", *Journal of African Earth Sciences*, 134: 917-930.
- Moghimi, E., Mahmoudi, F., (2004), "**Research method in natural geography (geomorphology)**", Tehran, Ghomes publication. [In Persian].
- Poonam, N. R., Parshant, K., Pinkey, B., Dhirendra, S. B., Robert, J. W., Yashpal, S., (2017), "Identification of landslide-prone zones in the geomorphically and climatically sensitive Mandakini valley, (central Himalaya), for disaster governance using the Weights of Evidence method", *Geomorphology*, 284: 41-52.
- Ranjbar, M., Parisa, R., (2009), "Landslide hazard zonation in Ardal city using Analytical Hierarchy Process (AHP)", *Zagros Landscape Geographic Quarterly*, 2 (1): 21-30. [In Persian].
- Samandar, N., Hejazi, A., (1398), "Evaluation of the performance of statistical methods of logistic regression and multilayer perceptron neural network in predicting the occurrence of mass movements (Upper Kamanjachay catchment)", *Geographical space*, 19 (66): 77-97. [In Persian].
- Shirani, K., Arab Ameri, A., (2015), "Landslide hazard zonation by using logistic regression method (Case study: Dez olya Basin)", *Journal of Agricultural Science and Technology*, Water and Soil Science, 17: 321-334, [In Persian].
- Shirzadi, A., Soleimani, K., Habib Negad, M., Kavian, A., GHasemian, B., (2015), "Comparison of Logistic Regression, Frequency and Hierarchical Analyzes Methods in Preparation of Pelagity Sensitivity Map (Case Study: Kurdistan Province, Salavat Abad Dam)", *Journal of Water Management*, 12: 193- 204, [In Persian].
- Smith, K., Environmental threats, Translated by Moghimi, E., Goodarzi Nezhad, Sh., *Sublicator*, First Edition, 2003. [In Persian].
- Tarun Kumar, R., Jemal, I., Dereje, A., (2014), "Slope stability susceptibility evaluation parameter (SSEP) rating scheme – An approach for landslide hazard zonation", *Journal of African Earth Sciences*, 99: 595-612.
- Zomoradiyan, M. J., (2007), "**Applied Natural Geography in Urban and Rural Planning**", Payam Noor University Press, 6th Edition, 2007. [In Persian].